

名倉繁樹

差出人: 名倉繁樹 [REDACTED]
送信日時: 2009年9月3日木曜日 18:14
宛先: [REDACTED]
CC:
件名: RE: 貞觀地震津波
分類項目: 分類項目 赤

東京電力（株） [REDACTED]

お世話になっております。
原子力安全・保安院 耐震安全審査室 名倉です。

9／7（月）17：00～ 経産省別館3階防災センターA机で
お願ひいたします。出席者は、小林室長と私です。

よろしくお願ひいたします。

経済産業省 原子力安全・保安院
原子力発電安全審査課 耐震安全審査室
名倉 繁樹
住所: 〒100-8901 東京都千代田区霞が関 1-3-1
TEL: 03-3501-6289 (直通)
FAX: 03-3580-8535
E-Mail: [REDACTED]

-----Original Message-----

From: [REDACTED]
Sent: Thursday, September 03, 2009 5:52 PM
To: 保安院 名倉様
Cc: [REDACTED]; [REDACTED]
Subject: 貞觀地震津波

審査課 名倉様

お世話になっております。
先週、貞觀地震津波に関してご説明した際、試算結果を説明する
ようご指摘があった件、資料の準備ができましたので、ご説明した
いと思います。つきましては、

7日(月) 午後
10日(木) 朝～15時
のなかで、1時間弱お時間をいただける時間帯があれば、ご連絡
いただけますと幸いです。
お忙しいところ恐縮ですが、よろしくお願ひいたします。

東京電力株式会社 原子力設備管理部
新潟県中越沖地震対策センター 土木調査グループ
兼土木技術グループ

〒100-8560 東京都千代田区内幸町 1-1-3

phone :

fax :

福島第一・第二原子力発電所の津波評価(1/2)

1. 土木学会手法による想定津波の検討

平成14年2月に(社)土木学会原子力土木委員会津波評価部会から刊行された「原子力発電所の津波評価技術」(以下、土木学会手法と呼ぶ)による検討対象領域を図1-1(近地)及び図1-2(遠地)に示す。

図示した領域において、土木学会手法に基づく想定津波のパラメータスタディを実施し、津波水位を評価する。

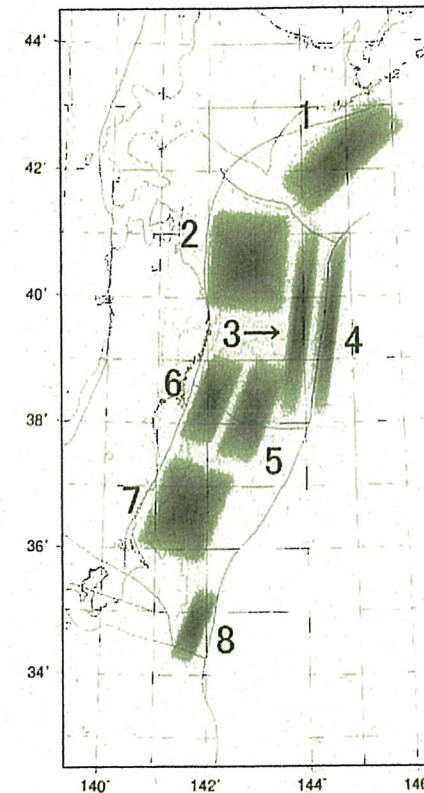


図1-1 近地津波の検討領域

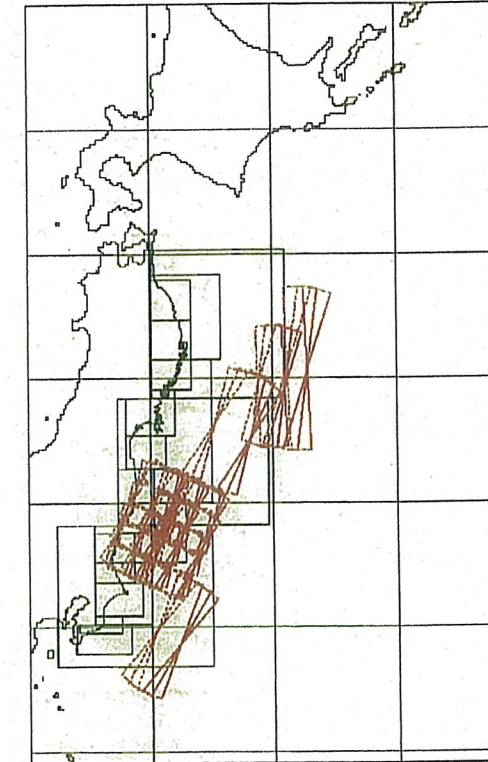


図1-2 遠地津波の検討領域

2. 新知見による津波の検討

土木学会手法公表以降の新知見として以下に示すものについて検討する。

- ① 中央防災会議(2005)による明治三陸地震津波(図2-1)
- ② 中央防災会議(2005)による宮城県沖地震津波(図2-2)
- ③ 茨城県(2007)による1677年延宝房総沖地震による津波(図2-3)
- ④ 福島県(2007)による高角断層地震による津波(図2-4)

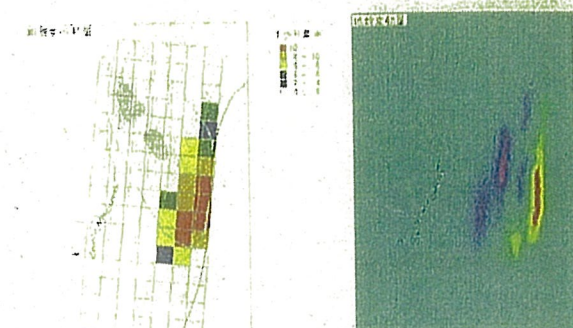


図2-1 中央防災会議(2005)による明治三陸地震津波



図2-2 中央防災会議(2005)による宮城県沖地震津波

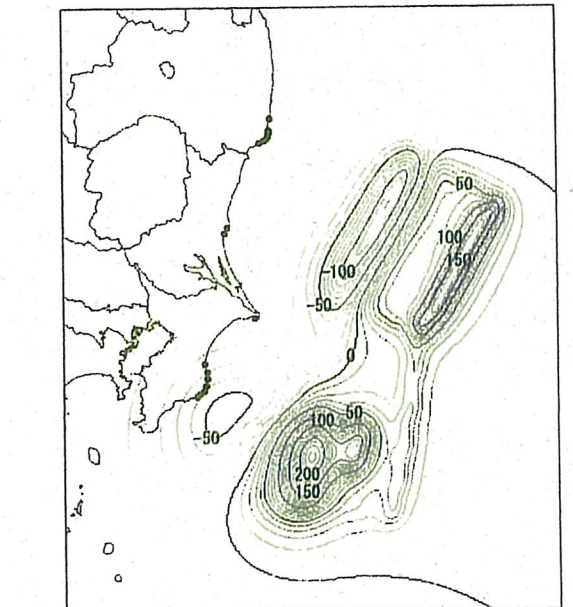
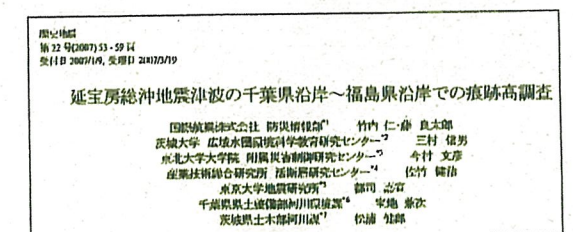


図2 延宝房総沖地震の断層モデルに基づく地盤変動量分布(単位:cm)
(海岸の●印は図3に示した津波浸水高と計算越上高の比較地点)
Fig.2 Displacements due to fault model of Enpo Boso-oki Earthquake (unit: cm)

図2-3 茨城県(2007)による延宝房総沖地震津波

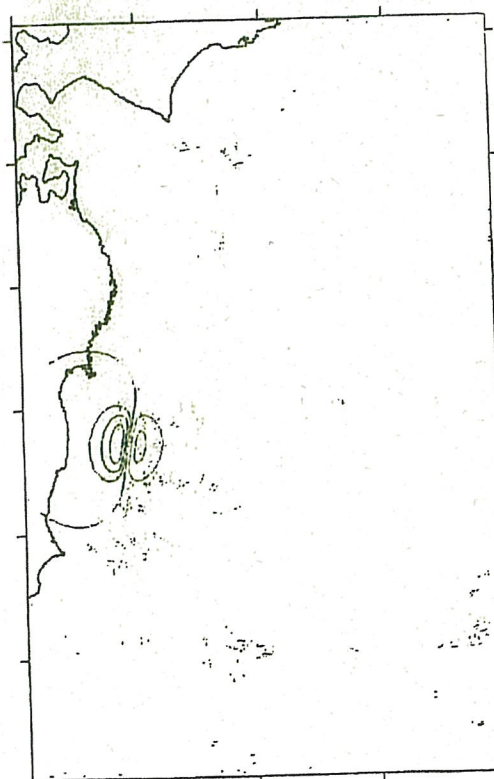


図2-4 福島県沖高角断層地震の垂直地盤変動量分布

福島第一・第二原子力発電所の津波評価 (2/2)

3. 数値計算領域及び格子分割

近地津波の数値計算及び遠地津波の近海伝播計算における計算領域及び格子分割を図 3-1 に、発電所周辺の格子分割図 3-2 に示す。最大格子サイズ 4,320m から順に 2,160m, 720m, 240m, 80m, 40m, 20m, 10m と細分化し、発電所敷地および港湾構造物は 10m 格子でモデル化した。遡上は格子間隔 80m の領域から考慮した。遠地津波計算にあたっては、太平洋での伝播計算における空間格子間隔を極座標系で 10 分とした。なお、津波数値計算における諸条件については、添付資料に示すとおりである。

4. 想定津波の検討結果（概略検討結果）

現在、前述した条件で津波数値計算を実施中であるが、概略検討の結果、上昇側で O.P. 5~6m 程度（朔望平均満潮位考慮）、下降側で O.P. -3~3.5m 程度（朔望平均干潮位考慮）である。

引き続き解析を進め、最終報告までに発電所に対する安全性評価を終える計画である。

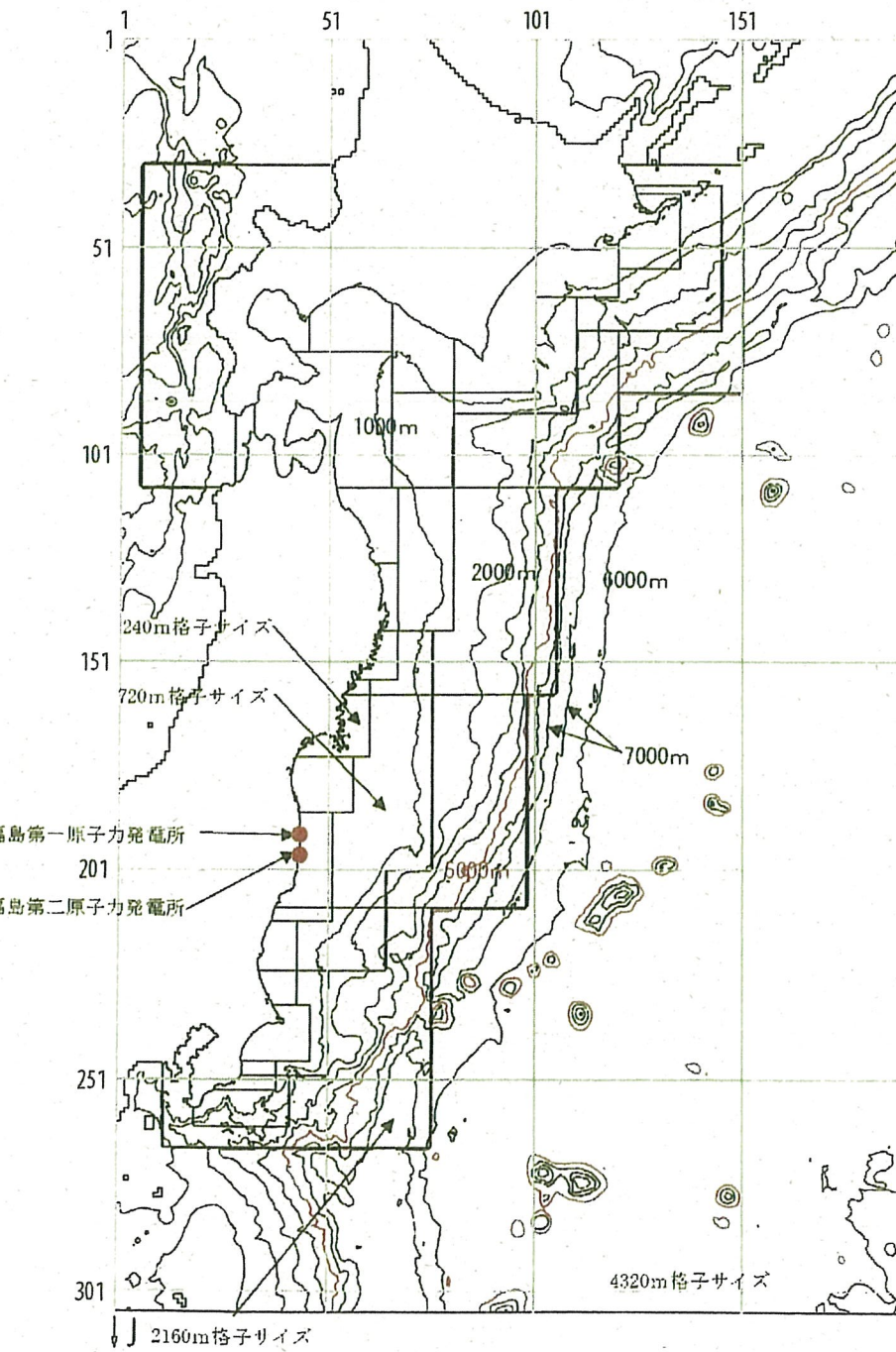


図 3-1 近地津波の数値計算及び遠地津波の近海伝播
計算における計算領域及び格子分割

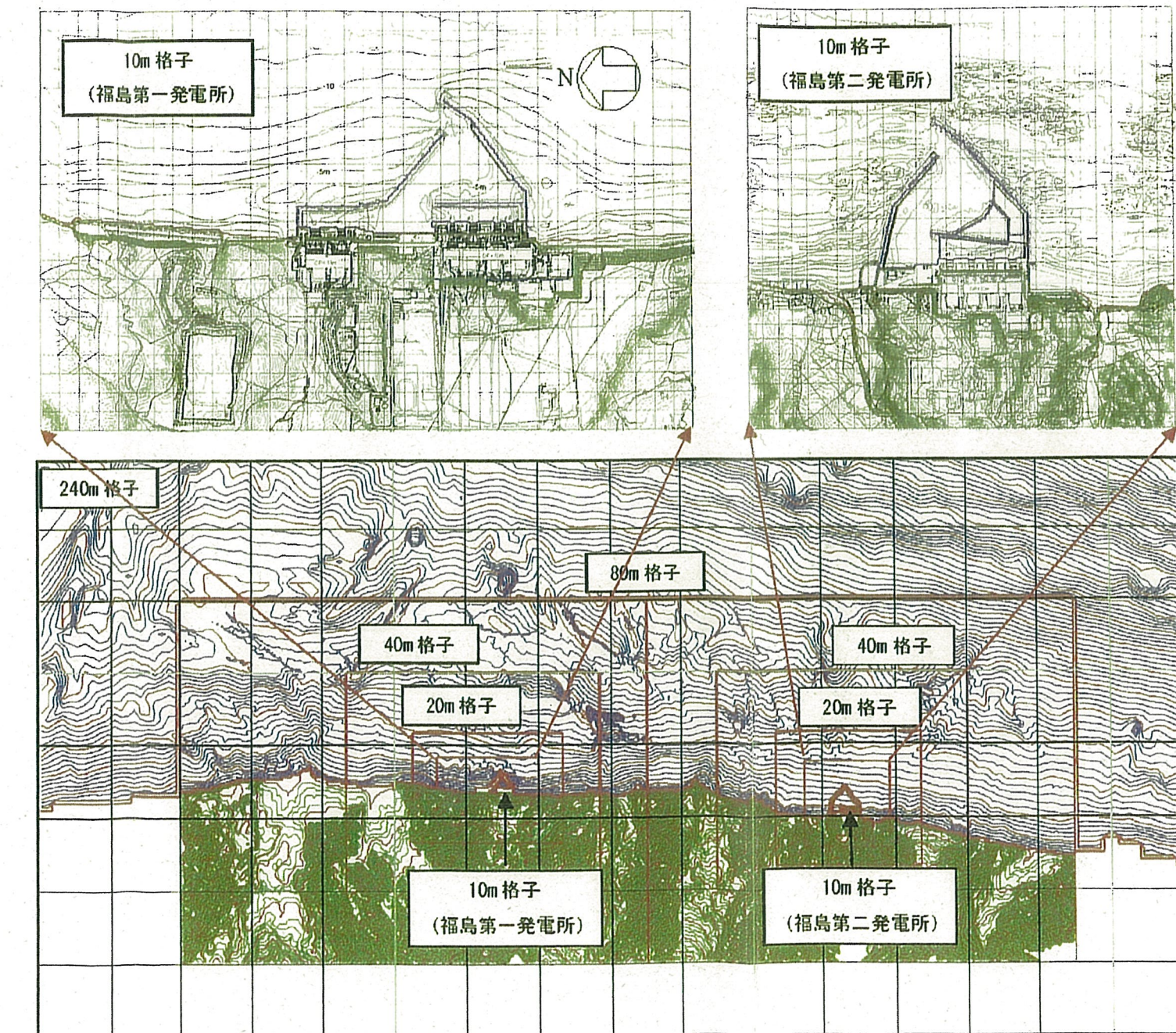
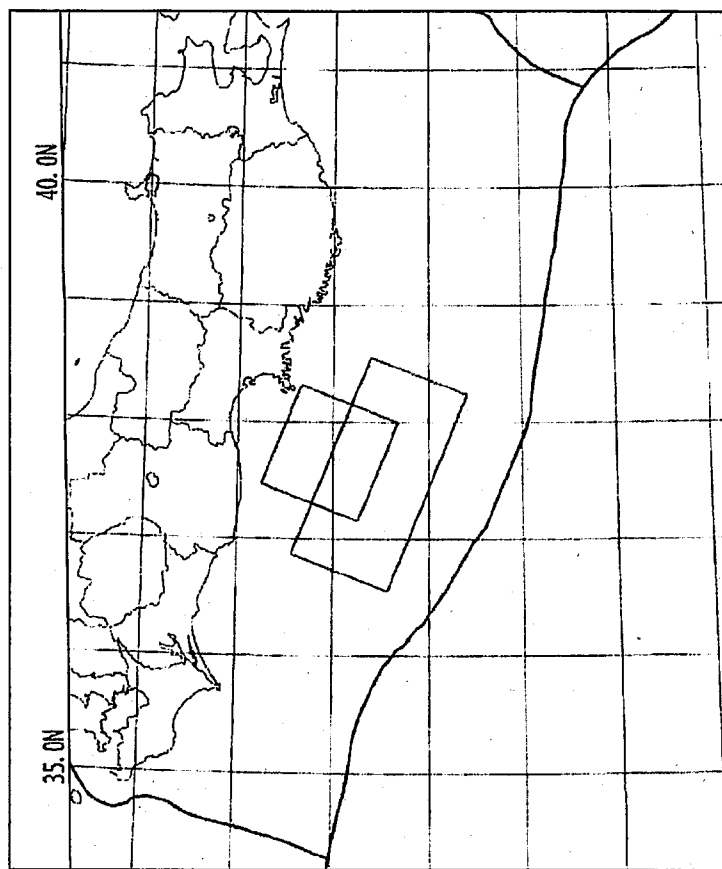


図 3-2 発電所周辺の格子分割

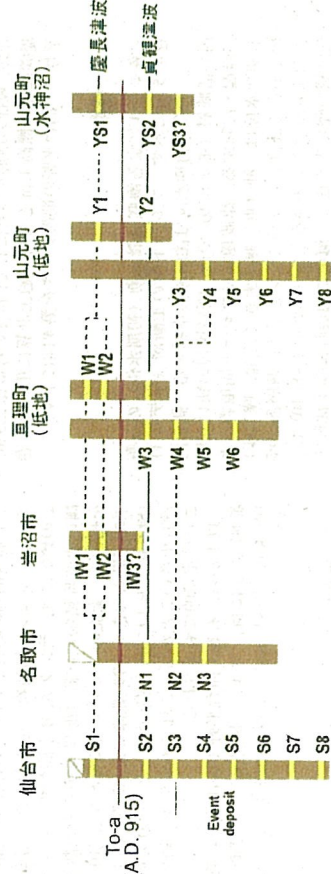
石巻・川内平野における 869 年貞観津波の数値シミュレーション

要旨

- ・ 石巻平野、仙台平野における津波堆積物調査の結果を踏まえて 869 年貞観津波の波源モデルを検討
- ・ 10 ケースの波源モデルによる数値シミュレーションを行った結果、すべり量 7 m 以上となる 2 ケースが最も再現性が高い（下図）
- ・ ただし、断層の南北の広がりを調べるために、岩手、福島、茨城での調査が必要



以上



第26図 各地盤で見られるイースト地域砂層。参考文献: Fig. 26. Correlation of sand sheets. Modified from Sawai et al. (2007).

石巻・仙台平野における869年貞観津波の数値シミュレーション

Numerical simulation of the AD 869 Jogan tsunami in Ishinomaki and Sendai plains

佐竹健治¹, 行谷佑一², 山木 法³

Kenji Satake¹, Yuichi Namegaya² and Shigeru Yamaki³

¹ 法研研究センター及び東洋大学地質研究所 (Active Fault Research Center, University of Tokyo, satake@eri.u-tokyo.ac.jp)

² 地震防災研究センター (Active Fault Research Center, GRI/AIST)

³ シーマス (Seamus)

Abstract: The AD 869 Jogan earthquake, off Miyagi prefecture along the Japan Trench, produced unusually large tsunami, according to a historical document and tsunami deposits. The document reports that about 1,000 people were drowned from the tsunami in Sendai plain, indicating much larger tsunami than the 1896 or 1933 Sanriku tsunami. In Ishinomaki plain, the 869 tsunami deposits extend more than 3 km from the estimated coast line, which is about 1.5 km inland of the present coast. We computed tsunami inundation in both plains from several types of tsunami source models such as outer-rise normal fault (similar to the 1933 Sanriku tsunami), tsunami earthquake (similar the 1896 Sanriku tsunami), interplate earthquakes with variable fault width, length and slip amounts, and an active fault in Sendai bay. Comparison of the computed inundation areas with the distribution of tsunami deposits indicates that only an interplate earthquake source with 100 km width and more than 7 m slip ($M_w=8.4$) can reproduce the observed distribution of tsunami deposits in the two plains.

キーワード: 貞観津波, 石巻平野, 仙台平野, 泽渡堆積物, 泽渡シミュレーション

Keywords: Jogan tsunami, Ishinomaki plain, Sendai plain, tsunami deposit, tsunami simulation

はじめに

貞観十一年五月廿六日(ユリウス暦 869年7月9日)の貞觀津波について、『日本三代実記』に、以下のように記述されている。

陸奥國大澤前、流光如電隱映、頃之、人民叫呼、伏不能起、或屋宇移死、或地裂巨窟、馬牛驚余、或相昇降、城塹食瓦、門檻皆墜、頑帝崩築、不知其數、海口喧吼、聲似雷震、竊謂海潮、所衝國長、忍金城下、去海數十里、若々不啻其涯際、房野道踏、慈為保、乘船不虞、登山難及、猝死者千餘、首產崖椽、殆無子遺焉。

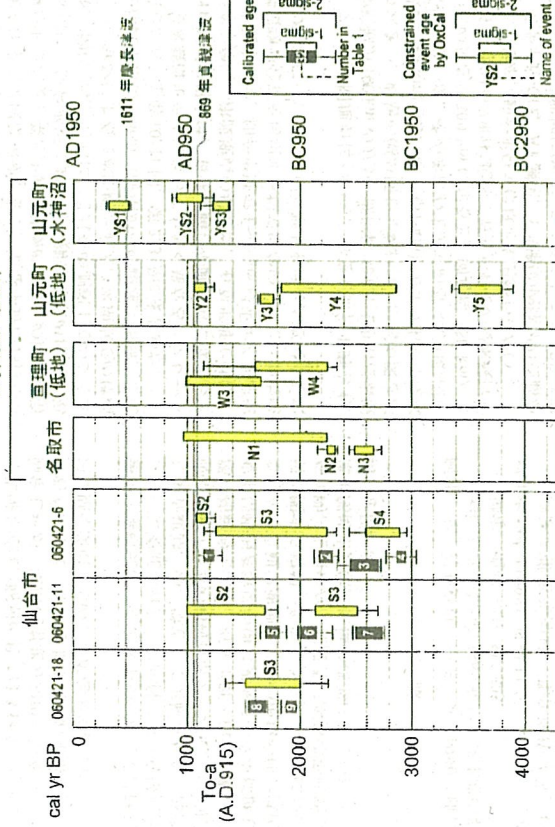
(大日本歴史史料第一卷、古代・中世) 地震・暗大史料データベース(石橋・他, 2008)によると、なお、上記の記述は Imanura (1934) によって英訳され Sawai et al. (2008) に引用されている。

陸奥国で大震動があり、建物の倒壊や地盤れによつて、車や牛馬などに多くの被害がでた。また、雷の音とともに津波が発生し、底下に当り、数千人里が海のようにになり、溺死者千人が出たといふ。この意味とは、一般には仙台市北の方の多賀城と考えられてゐるが、仙台市南の方の岩沼とする說もある(渡

逸, 1998)。また、渡邊 (2000, 2001) は、宮城県仙台市、多賀城、山形市、名取市、岩沼市、福島県新地町、相馬市、いわき市、茨城県北茨城市、高萩市、東海村、ひたちなか市、大洗町、大洋町(現在:鉢田市)において、貞觀地殻・津波によるとされる伝承を収集して検討している(第1回)。明治二陸地震(犠牲者約22,000名)や1933年昭和三陸地震(犠牲者約3,000名)は、岩手県半島や仙台平野では高さ数m以下であった(たとえば波波邊, 1998)ことから、貞觀津波は、これらの一陸地震よりも大きな影響を仙台平野に与えたと想えられる。日記は波の波瀬は仙台湾内(羽鳥, 1998)、海岸から離れて高城沖の海面付近(渡邊, 2000)などに想定されてきた。

本研究では、貞觀津波を起こした地盤の規模やメカニズムを推定するため、日本海縫合帯における様々なタイプの断層モデルからの仙台平野と石巻平野における津波浸水シミュレーションを実施し、すなへて調査されている津波堆積物の分布と比較した。

Fig. 27. Radiocarbon ages and age of each event calibrated by OxCal.



2. 貞觀津波の堆積物

貞觀津波による堆積物は阿部・他 (1990) や Minoura and Nakaya (1991) によって発見されていた。発見された調査 (阿部・他, 2007; Sawai et al., 2008) により、石巻平野及び仙台平野における津波堆積物の分布および津波堆積物の位置が明らかとなった。それらによれば、貞觀津波当時の海岸線は、仙台平野では現在よりも約 1 km 内陸に、石巻平野では 1~1.5 km 内陸にあった。貞觀津波による堆積物は、両平野に分布する十和田山・火打山では、当時の海岸線から 1~3 km、石巻平野では 3 km 以上であった。また、貞觀津波の下部にも数枚の津波堆積物が発見されている (Minoura and Nakaya, 1991; Sawai et al., 2008)。その継り返し間隔は 600~1300 年程度と推定されている (Minoura and Nakaya, 1991; Sawai et al., 2008)。

本研究では津波堆積物が貞觀津波によるものである可能性のある場所や、火打山付近にある津波堆積物をランク A、おもに B に分けた。石巻平野における津波堆積物 (六村・他, 2007) については、津波堆積物と認定した砂層 (S2, N1, W3, Y2, VS2) に関してはランク A、明確に認定はされていないものの火山灰がありさらには比較的そのすぐ近くにある堆積物と認定した砂層 (S2, N1, W3, Y2, VS2) に対してはランク B、明確に認定はされていないものの津波堆積物 (六村・他, 2007; 2008) における津波堆積物に含まれる堆積物と認定した砂層 (S2, N1, W3, Y2, VS2) に対してはランク A、明確に認定はされていないものの火山灰がありさらには比較的そのすぐ近くにある堆積物と認定した砂層 (S2, N1, W3, Y2, VS2) に対してはランク B とした。火山灰は認められなかったが砂層が 3 枚ありは上層が貞觀津波に対する可能性がある場合や、火打山付近にある津波堆積物を B とした。仙台平野における津波堆積物については、澤井・他 (2007; 2008) が貞觀津波による津波堆積物と認定した砂層 (S2, N1, W3, Y2, VS2) に対してはランク A、明確に認定はされていないものの津波堆積物 (澤井・他, 2007) においては、津波堆積物の位置等では貞觀津波が確実に浸水したと考えられるが、実際にはこれよりきらに奥まで浸水した可能性もある。

3. 断層モデル

貞觀津波を発生させた地盤の断層モデルとして、昭和三島地帯と同様な海嵩外側のアレー内正断層地帯、明治三島地帯と同様な津波地帯、フレート開地帯、さらに仙台平野内の断層によって構成された。フレート開地帯においては、走向は日本海沿岸に平行な 202° とし、傾斜角 45° で傾斜面を設定した。断層の走向は 200 km、幅 50 km、上端が日本海側のやや北側の海底 (深さ 0 km、以下深さはすべて海底からの高さ) に位置し、下端は 5 m である (モデル 1)。津波地帯アレーに沿って、傾斜面の傾きは 200 km、幅 50 km (深さは海底から 15 km まで)、すべり量は 5 m とした (モデル 2)。津波地帯は、付加体の下部など、ふだんの地盤活動の多いところがすべることによって発生するとされて

いる。ブレート開地帯については、ブレート境界の深さ 15~50 km 程度の地震発生帶における断層運動と考

えられていることから、走向を 202° とし、地盤歪形率と、仙台平野の地形データを第 4 図に示す。

5. 結果

各モデルによる海底地盤変動 (初期水位) の分布を第 5 図に示す。ブレート内の正断層 (モデル 1) では、仙台の初期水位は津波高が比較する。仙古勝内の断層 (モデル 9) では、断層周辺の狭い範囲が隆起・沈降する。津波堆積やブレート開地帯による初期水位は、神 (東) 側で大きく隆起、陸 (西) 側で小さく沈降した (モデル 4~8, 10)。は、3 km 以深まで伸びるとき (モデル 4~8, 10) は、沈降域が陸地まで達し、海岸は地盤間に多少沈降す

る。これらの初期水位から計算した津波の最大水位分布を第 6 図に示す。断層の走向と直交する方向で水位が大きくなる傾向が顕著に表れ、いずれの場合も津波堆積物が最も多くなる。断層長さが仙台勝勝周辺で水位が最大となる。断層長さが 300 km の場合には、仙台勝のみならず、福島県沿岸まで水位が高くなる。石巻・仙台・西側における最大浸水深 (地盤上) の津波高) と津波堆積物分布を比較したものを、それぞれ第 7, 8 図に示す。また、石巻平野における 3 潟湖上での浸水深と津波堆積物の位置との比較を第 9 図に示す。仙台平野における 3 潟湖上でのシミュレーションによる浸水深と津波堆積物の位置との比較を津波堆積物の位置 (海岸からの距離、標高) と比較したものを第 10, 11 図、第 2, 3 表にまとめた。

石巻・仙台・西側における最大浸水深 (地盤上) の津波高) と津波堆積物分布を比較したものを、それぞれ第 7, 8 図に示す。また、石巻平野における 3 潟湖上での浸水深と津波堆積物の位置との比較を第 9 図に示す。仙台平野における 3 潟湖上でのシミュレーションによる浸水深と津波堆積物の位置との比較を津波堆積物の位置 (海岸からの距離、標高) と比較したものを第 10, 11 図、第 2, 3 表にまとめた。

津波堆積物による石巻平野と仙台平野における津波堆積物の分布といっつかの断層モデルから、シミュレーション結果と比較した。ブレート開地帯、内正断層、津波堆積物の分布を断層することはできない、マ

6.まとめ

貞觀津波による石巻平野と仙台平野における津波堆積物の分布といっつかの断層モデルから、シミュレーション結果と比較した。ブレート開地帯、内正断層、津波堆積物の分布を断層するとはできない、マ

レート開地帯で断層 100 km、すぐりが 7 m 以上の津波堆積物と仙台・西側における最大浸水深 (地盤上) の津波高) と津波堆積物分布を比較したものを、それぞれ第 7, 8 図に示す。また、石巻平野における 3 潟湖上での浸水深と津波堆積物の位置との比較を第 9 図に示す。仙台平野における 3 潟湖上でのシミュレーションによる浸水深と津波堆積物の位置との比較を津波堆積物の位置 (海岸からの距離、標高) と比較したものを第 10, 11 図、第 2, 3 表にまとめた。

津波堆積物による石巻平野と仙台平野における津波堆積物の分布といっつかの断層モデルから、シミュレーション結果と比較した。ブレート開地帯、内正断層、津波堆積物の分布を断層するとはできない、マ

レート開地帯で断層 100 km、すぐりが 7 m 以上の津波堆積物と仙台・西側における最大浸水深 (地盤上) の津波高) と津波堆積物分布を比較したものを、それぞれ第 7, 8 図に示す。また、石巻平野における 3 潟湖上での浸水深と津波堆積物の位置との比較を第 9 図に示す。仙台平野における 3 潟湖上でのシミュレーションによる浸水深と津波堆積物の位置との比較を津波堆積物の位置 (海岸からの距離、標高) と比較したものを第 10, 11 図、第 2, 3 表にまとめた。

津波堆積物による石巻平野と仙台平野における津波堆積物の分布といっつかの断層モデルから、シミュレーション結果と比較した。ブレート開地帯、内正断層、津波堆積物の分布を断層するとはできない、マ

レート開地帯で断層 100 km、すぐりが 7 m 以上の津波堆積物と仙台・西側における最大浸水深 (地盤上) の津波高) と津波堆積物分布を比較したものを、それぞれ第 7, 8 図に示す。また、石巻平野における 3 潟湖上での浸水深と津波堆積物の位置との比較を第 9 図に示す。仙台平野における 3 潟湖上でのシミュレーションによる浸水深と津波堆積物の位置との比較を津波堆積物の位置 (海岸からの距離、標高) と比較したものを第 10, 11 図、第 2, 3 表にまとめた。

文 献

- 阿部 謙・青野喜良・千絵 (1990) 仙台平野における貞觀 1 年 (869 年) 津波津波の震源高の地理学から公開されている 50 m メッシュから作成した、沿岸の海の基本圖) から、貞觀津波堆積物の分布を用いて現況の津波堆積物データを作成した。次に、昭和時代の道路網と米原の空中写真を活用して、仙台空港 (仙台平野) や日高原地区 (石巻平野) が低いところがすべることによって発生するとされて

右橋紀澤・古代・中世地盤史料データベース化研究
グループ (2008) 地震・噴火更替データベース
(古代・中世編) のインダーネット公開。
日本地盤科学連合大会、
Mansinha, L., and Suyide, D. E. (1971) The displacement
fields of inclined faults. *Bull. Seism. Soc. Am.*, 61,
1433-1440.

Minoura, K., and Nakaya, S. (1991) Traces of tsunami
preserved in inter-tidal lacustrine and marsh deposits:
some examples from northeast Japan. *J. Geology*, 99,
265-287.

Minoura, K., Imanura, F., Sugawara, D., Kono, Y., and
Iwashita, T. (2001) The 869 Jogan tsunami deposit
and recurrence interval of large-scale tsunami on the
Pacific coast of northeast Japan. *J. Natural Disaster
Sci.*, 23, 83-88.

佐竹地治・七口 太・山木 蘭 (2003) 17世紀に北
海道東部で発生した豊富な津波の被災モード、
活断層・古地盤研究報告、3, 315-362。

西邊信夫 (1998) 日本書評年表選書【第2版】。東京
大出版会、238 pp.

西邊信夫 (1998) 869 (白虎 11) 年の地震・津波の
実態と推定される津波の被災範囲、歴史地質、14,
83-99。

西邊信夫 (2000) 貞觀十一年 (869 年) 地震・津波
と推定される津波の被災範囲 (總括)。歴史地質、
16, 59-77。

Tin Aung, M. (2001) 伝承から地盤・津波の実態をどこ
まで解明できるか、出雲十一年 (869 年) の地盤・
津波を例として一、歷史地誌、17, 130-146。

西邊信夫・小林原純子・麻手雄三郎 (2006) 仙
台平野の地盤物に記載された既往時代の巨大津
波、1611 年越後沖波と 869 年出現津波の浸水域
・地質ニアス、624, 36-41。

Tin Aung, M., 小林原純子・藤井敏士・藤原
治・佐竹地治・鎌苅孝信・佐藤恒枝 (2007)
ハンドディジタルライサーを用いた宮城県仙台
平野 (仙台市・名取市・岩沼市・江刺町・山元町)
における古地盤断面調査。活断層・古地盤研究
報告、No. 7, 47-80。

第 1 表. 本研究で検討する断層の属性モデル。
Table 1. Parameters of fault models examined in this study.

Model	断層タイプ	断層	傾斜	深さ	長さ	幅	走向	傾斜角	すくい角	走向	傾斜角	すくい角	走向	傾斜角	すくい角	走向	傾斜角	すくい角	走向	Mw
		deg N	deg E	km	km	km	km	deg	deg	m	m	m	Nm	Nm	Nm	Nm	Nm	Nm	Nm	Nm
1	Normal Fault	37.91	144.36	0	200	50	202	45	.90	5	2 x 10 ³	8.1								
2	Tsunami Eq.	38.06	143.91	0	200	50	202	18	.90	5	2 x 10 ³	8.1								
3	d1SW50	38.24	143.41	15	200	50	202	18	.90	5	2 x 10 ⁴	8.1								
4	d1W50	36.41	142.91	31	200	50	202	18	.90	5	2 x 10 ³	8.1								
5	d1SW100	38.24	143.41	15	200	100	202	18	.90	5	4 x 10 ³	8.3								
6	d1W100	38.41	142.91	31	200	100	202	18	.90	5	4 x 10 ³	8.3								
7	d1L300	38.41	142.91	31	300	50	202	18	.90	5	3 x 10 ²	8.3								
8	d1L100a10	38.00	142.68	31	100	100	202	18	.90	10	4 x 10 ³	8.3								
9	Sendai Bay Fault	38.30	141.20	1	40	20	160	45	.90	5	1.2 x 10 ³	7.3								
10	d1SW100u7	38.24	143.41	15	200	100	202	18	.90	7	5.6 x 10 ²	8.4								

Island	Tsunami deposit	Model 1 Normal Fault	Model 2 Tsunami Eq.	Model 3 d1SW50	Model 4 d1SW100	Model 5 d1SW100u7	Model 6 d1L300	Model 7 d1L100a10	Model 8 d1L100	Model 9 d1SW100u7	Model 10 d1SW100u7
Wa	1.5	0.1	0.1	0.5	0.5	1.5	1.5	1.5	1.5	0.1	1.6
A1	3.4	0.0	0.0	2.2	2.3	2.3	2.3	2.3	2.3	3.5	3.1
Y	3.2	0.0	0.0	1.4	1.4	1.7	1.8	1.4	2.9	0.0	2.8
Sendai											
a	3.0	0.0	1.0	1.8	1.4	2.0	2.0	1.4	3.1	0.0	3.1
b	3.8	0.0	1.0	2.2	1.3	2.8	2.8	1.3	3.4	0.0	3.3
c	4.2	0.0	1.1	3.3	3.1	3.3	3.3	3.1	3.8	0.3	4.1
d	3.5	0.2	1.7	2.1	2.0	2.9	3.1	2.0	3.6	1.7	3.5
e	2.5	0.0	1.4	1.7	1.4	2.3	2.3	1.4	2.8	0.9	2.9
Distance (Sim.Dep.)	Average	0.01	0.24	0.58	0.51	0.77	0.78	0.60	0.99	0.12	0.99
Std. Dev.	0.02	0.21	0.13	0.14	0.17	0.16	0.23	0.08	0.19	0.09	0.09

第 2 表. 計算距離の 10 倍のモデルから計算した浸水距離 (Nm) と現実の津波堆積物の位置との比較。
Table 2. Inundation distances (in km) along profiles computed for ten models of the Logan tsunami compared with the location of the most inland tsunami deposits.

The lowest two lines indicate averages and standard deviations of distance ratio inundation distance / furthest tsunami deposit from coast. Both rank A and B deposits are included in the calculations. The averages and standard deviations shown in bold are the preferred models.

第3表：自転速度の10倍のモードルから計算した地盤の浸水高さ(m)と震央の震度推進量の比較(m)との比較。
Table 3. The water heights (in meters) along profiles computed for ten models of the Jogan tsunami, compared with
the altitudes (in meters) of the most inland tsunami deposits.

Tsunami deposit	Model 1 Normal Fault	Model 2 Tsunami Eq.	Model 3 d1SW50	Model 4 d3IW50	Model 5 d1SW100	Model 6 d3IW100	Model 7 d3IL300	Model 8 d3IL1000u10	Model 9 Sendai Bay Fault	Model 10 d1SW100u7
Ishinomaki										
Wa	1.9	1.7	2.0	2.2	2.2	2.4	2.0	2.1	2.7	2.4
A1	1.7	1.8	2.1	0.7	0.8	1.1	1.2	1.0	1.9	1.6
Y	2.6	1.8	2.1	2.1	1.9	2.4	2.4	2.1	2.5	1.4
Sendai										
a	2.0	2.0	1.1	1.6	1.4	1.7	1.7	1.3	2.4	2.4
b	3.3	2.2	1.1	1.5	1.3	1.6	1.7	1.3	2.5	2.5
c	2.5	1.8	0.9	1.2	1.0	1.3	1.4	1.0	2.0	2.1
d	3.0	1.0	1.1	1.9	2.0	2.3	2.5	2.0	3.5	3.2
e	3.9	1.7	2.1	3.0	2.7	3.1	3.0	2.7	4.0	4.1
Height ratio (Sim/Dep.)	Average 0.72	0.65	0.68	0.64	0.78	0.78	0.66	1.04	0.78	1.09
(Std. Dev.)	0.26	0.35	0.23	0.25	0.23	0.17	0.22	0.21	0.29	0.34

The lowest two lines indicate averages and standard deviations of height ratio (simulated inundation height / altitude of the most inland tsunami deposit). Both rank A and B deposits are included in the calculations. The averages and standard deviations shown in bold are the preferred models.

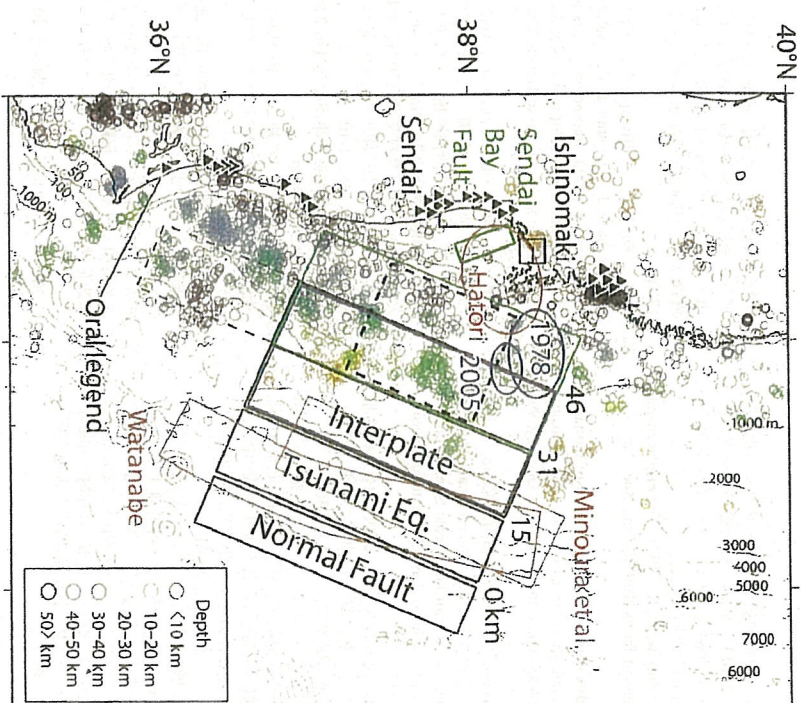


Fig. 1. Fault models of the Jogan tsunami. The fault models tested in this study are the normal fault, tsunami earthquake and interplate earthquake models (widths, 10 km (shown by black solid lines), different widths (green and blue lines), and an active fault fault length (shown by black dashed lines), with different fault widths (green and blue lines); and an active fault in Sendai Bay (dark green). In addition, those proposed by Hatori (1998), Watanabe (2000) and Minoura *et al.* (2001), seismic (2000) (1997.10.10～2005.3.1) and active (1997.10.10～2005.3.1) source areas of 1978 and 2005 Miyake-oki earthquakes are also shown. Color circles indicate seismicity in this region between October 1997 and March 2007, according to Japan Meteorological Agency data. Numerals beside the faults (10 km, 15, 31, and 46) indicate upper depth of the faults. Triangles show locations where oral legends of the 869 Jogan earthquake and tsunami were reported (Watanabe, 2000).

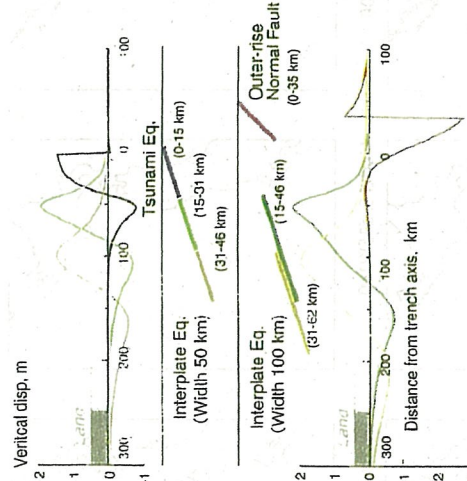


Fig. 2. 地震断層による地盤変動。左側地図は、アレード間槽要素モデルによる地盤変動の上位断面と、海底の上位断面。右側の地図は、西側の地盤変動の下位断面を示す。

Fig. 2. Vertical seafloor deformation due to outer-rise normal fault, tsunami earthquake and intermediate earthquakes with different fault width and depth. Gray rectangles and broken lines indicate location of land on the head of Sendai bay and Ojika Peninsula, respectively.

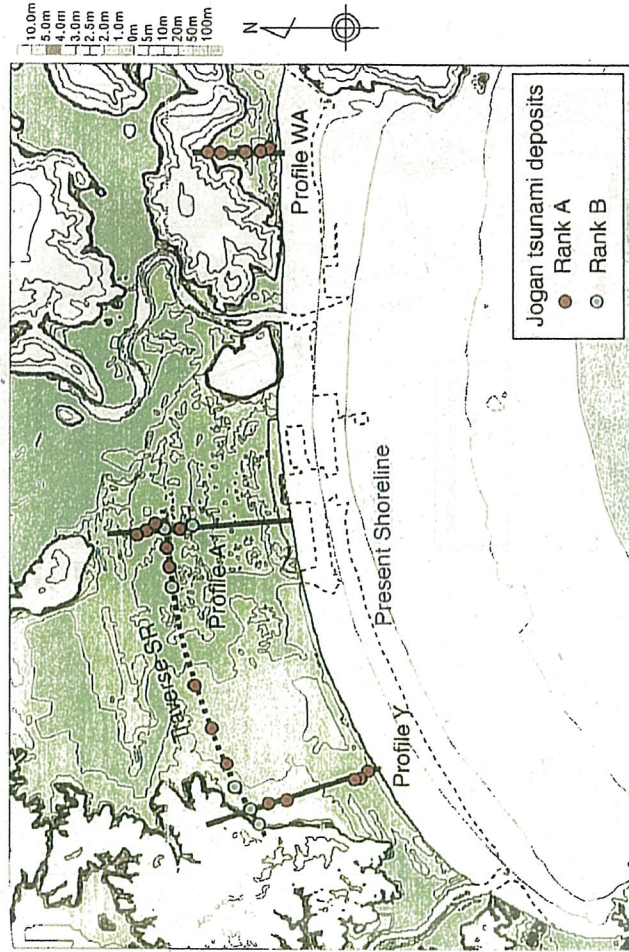


Fig. 3. 仙台平野における 869 年貞観津波の地形予測。左側地図は、津波堆積物が発見された位置（矢合・他, 2007）ならびに津波シミュレーションによる津波堆積物の位置を示す。津波堆積物は津波堆積である可能性の高い所によりランクを A, B に分けた。この区域は 25 m 間隔で格子化されている。また、3 つのプロファイル（Profile WA, Profile A, Profile Y）が示されている。右側地図は、Jogan tsunami の堆積物の位置を示す。

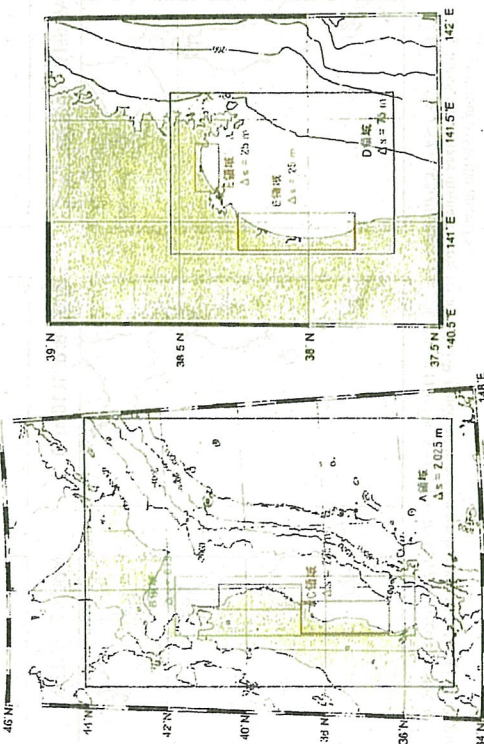
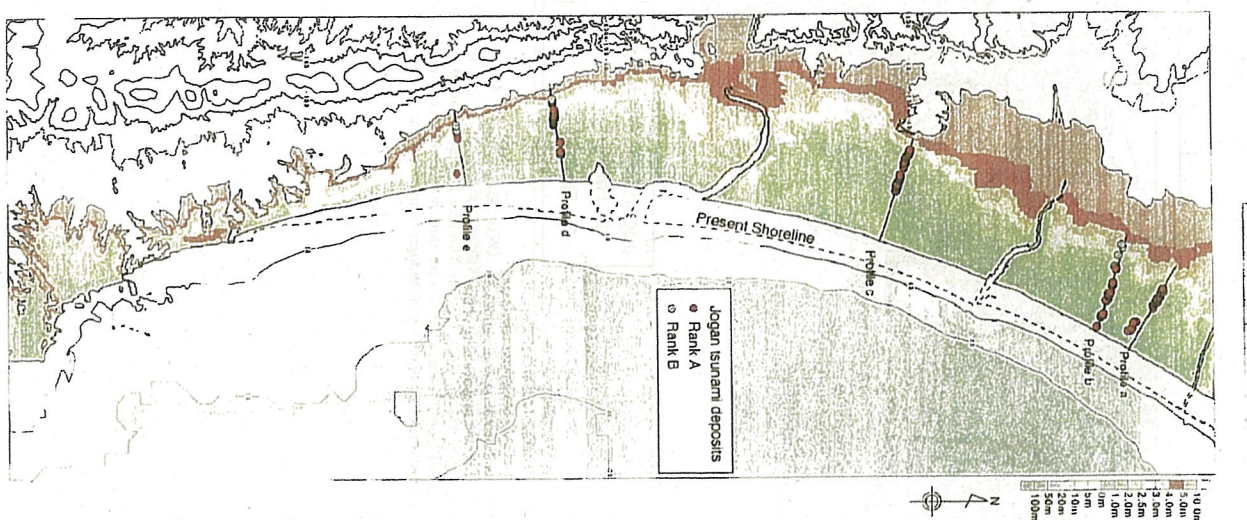
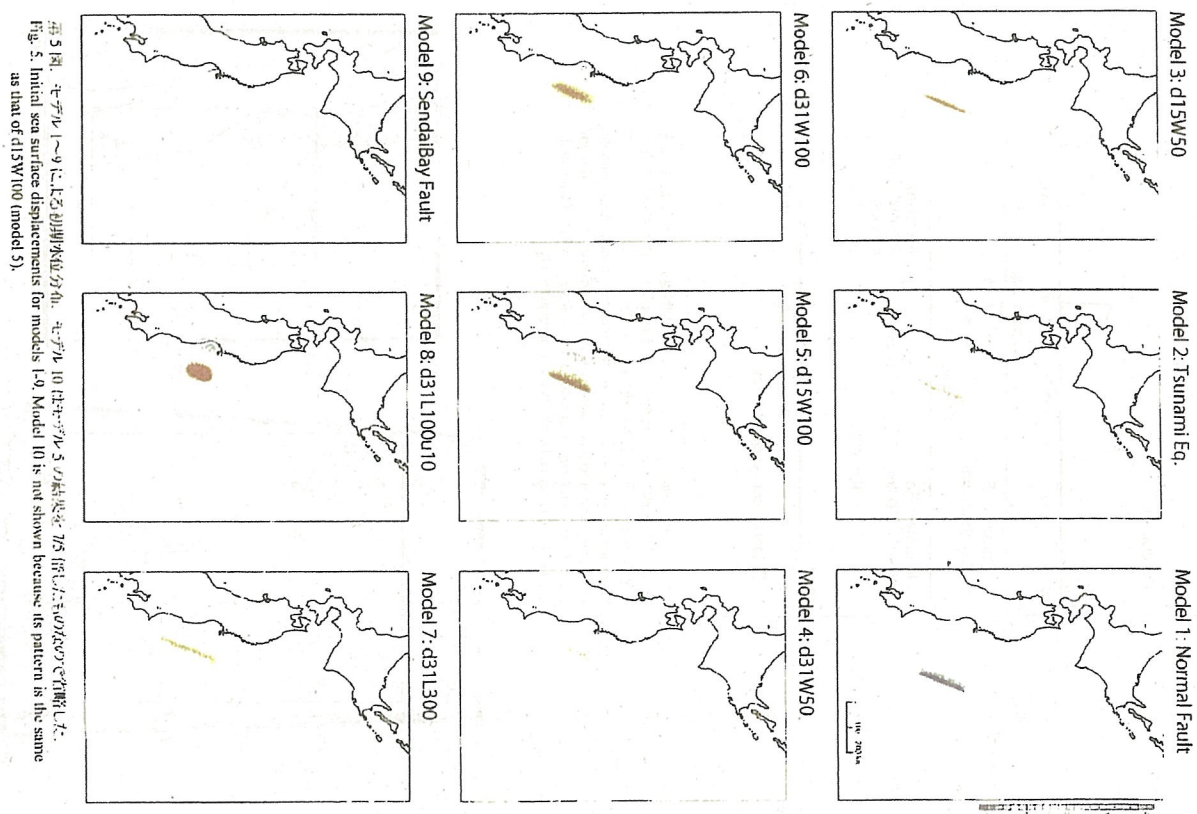


Fig. 4. 計算半断面の推定地図。左側地図は、津波堆積物の位置を示す。右側地図は、計算領域を示す。左側地図では、津波堆積物は津波堆積である可能性の高い所によりランクを A, B に分けた。また、3 つのプロファイル（Profile WA, Profile A, Profile Y）が示されている。右側地図は、Jogan tsunami の堆積物の位置を示す。



第4b図 仙台平野の戊辰浪当時の堆疊地形(格子間隔 25 m)。津波堆積物が記入された位置(津波堆積物の比較を行った測線の位置も示す)。津波堆積物は既報(佐竹, 2007; 2008)によリランクA, Bに分けた。

Fig. 4b Estimated topography around Sendai plain at the time of AD 869 Jogan tsunami. This area is gridded into 25 m interval for inundation modeling. Locations of the tsunami deposits (Sawai *et al.*, 2007, 2008) and five profiles on which simulation results are compared with the deposits are shown. Ranks A and B refer to probability of the Jogan tsunami deposits



第5図 モデル1～9による初期海面変動分布。モデル1～5は結果が異なった。75%以下の確率で一致した。

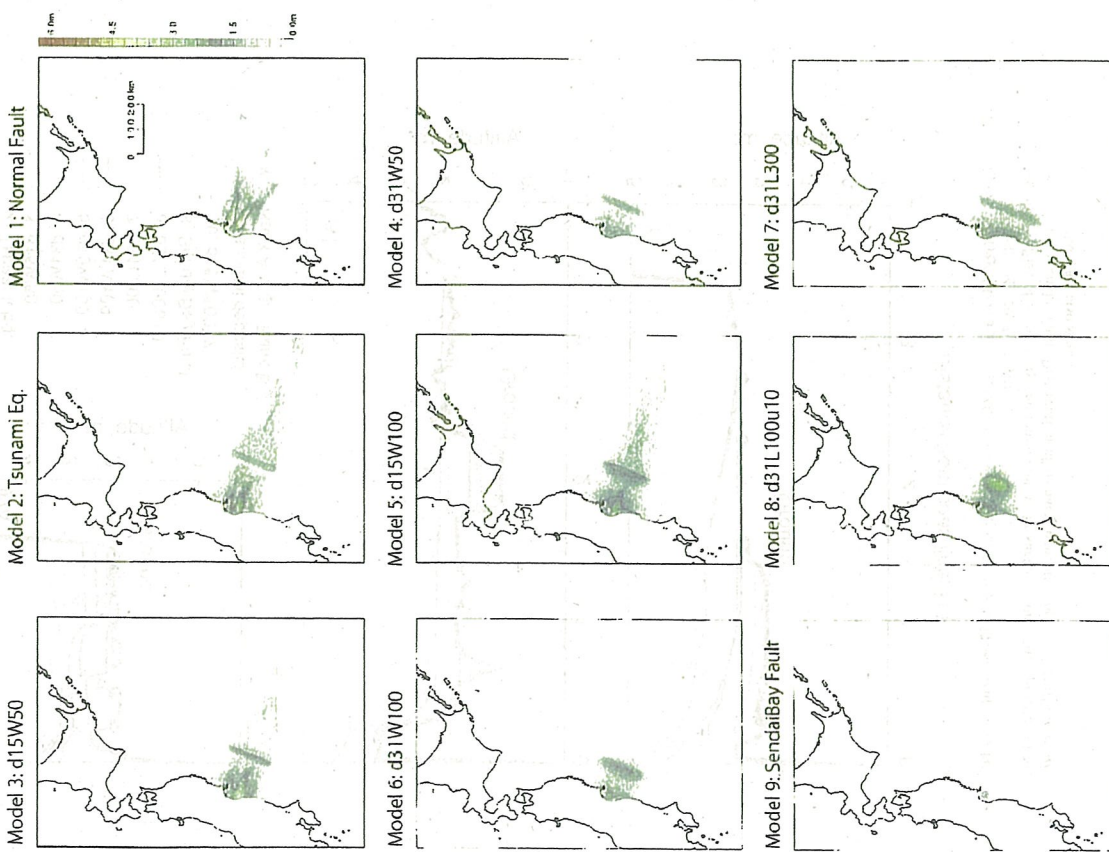


図 6 図 キャンセル 1~9 による冲縄沖地震の最大海面変位量を示す。図 6 はモデル 5 の結果を基準として、他のモデルの結果を示す。図 6 の結果は、モデル 10 の結果とほとんど同じである。

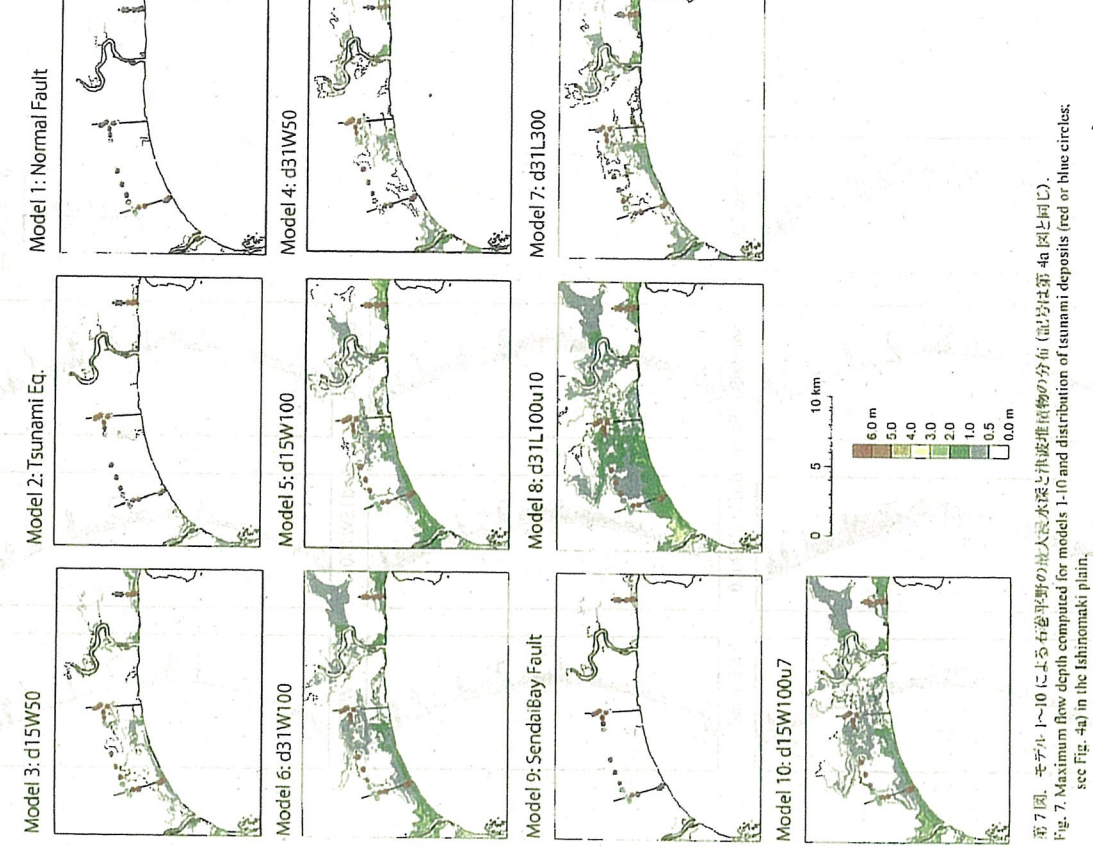


図 7 図 モデル 1~10 による石巻平野の最大流れ水深と津波堆積物の分布(記号は第 4a 図と同じ)。
Fig. 7. Maximum flow depth computed for models 1-10 and distribution of tsunami deposits (red or blue circles; see Fig. 4a) in the Ishinomaki plain.

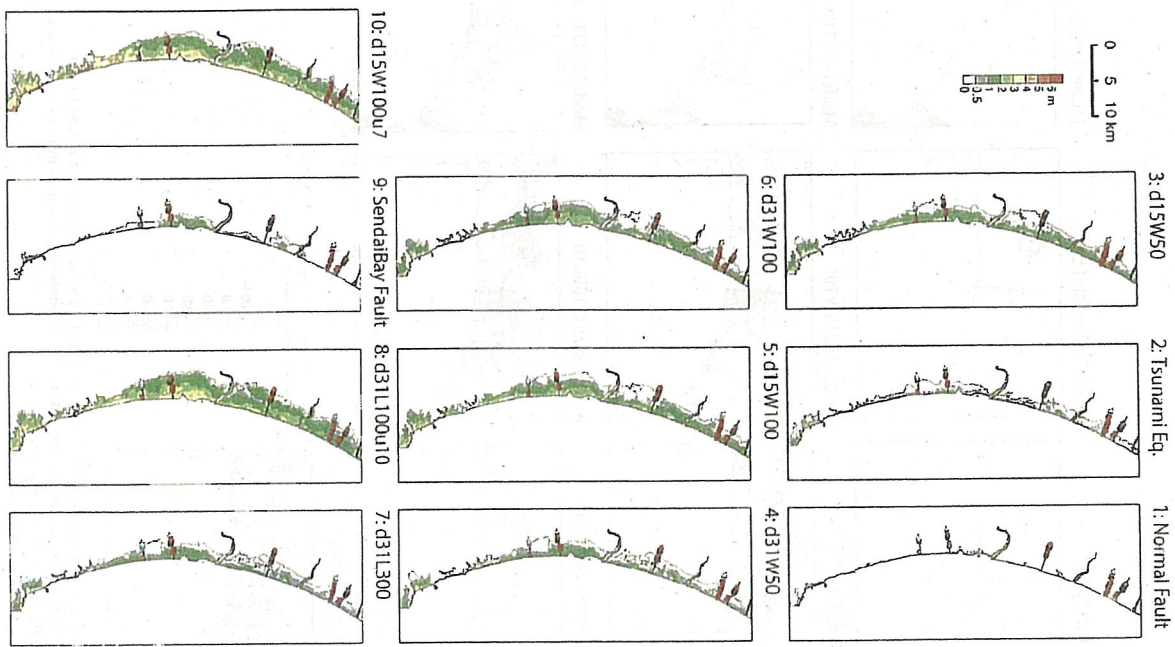


図 8 図 モデル 1~10 による山古志平野の最大浸水深と津波堆積物の分布(註付図第 4b 図と同じ)。
Fig. 8. Maximum flow depths computed for models 1-10 and distribution of tsunami deposits (red or blue circles; see Fig. 4b) in the Sendai plain.

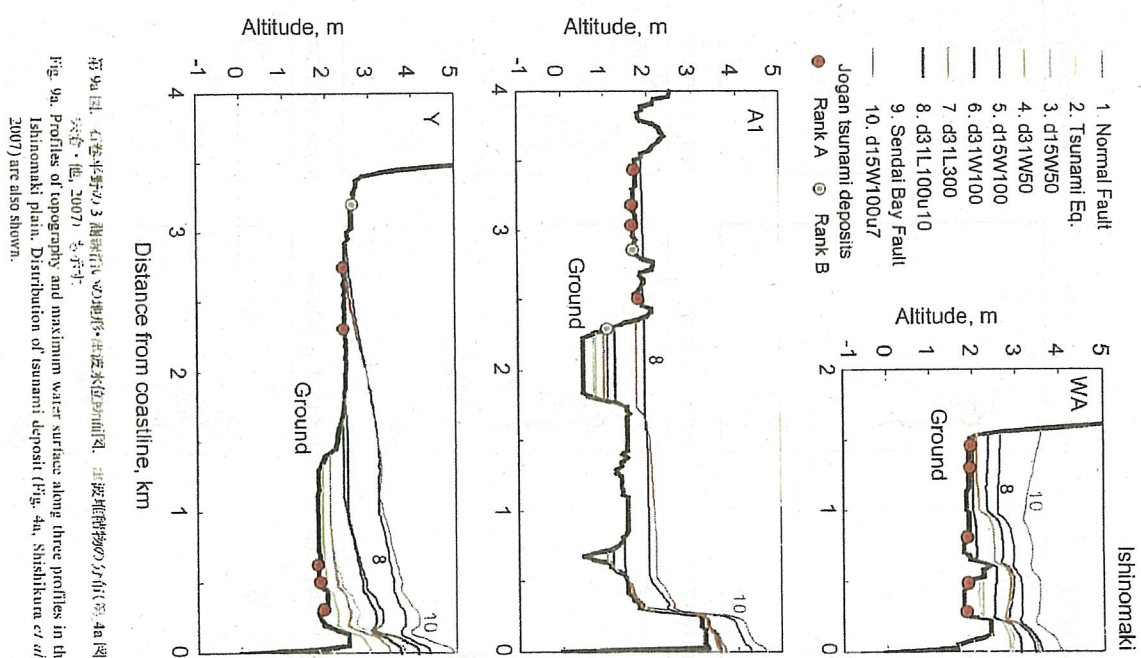


図 9a 図 石巻平野の 3 路線沿いの地盤高程と津波水位(前面)、津波堆積物の分布(図 4b 図、
第六章・図 2007)を示す。

Fig. 9a. Profiles of topography and maximum water surface along three profiles in the Ishinomaki plain. Distribution of tsunami deposit (Fig. 4b, Shishikura *et al.*, 2007) are also shown.

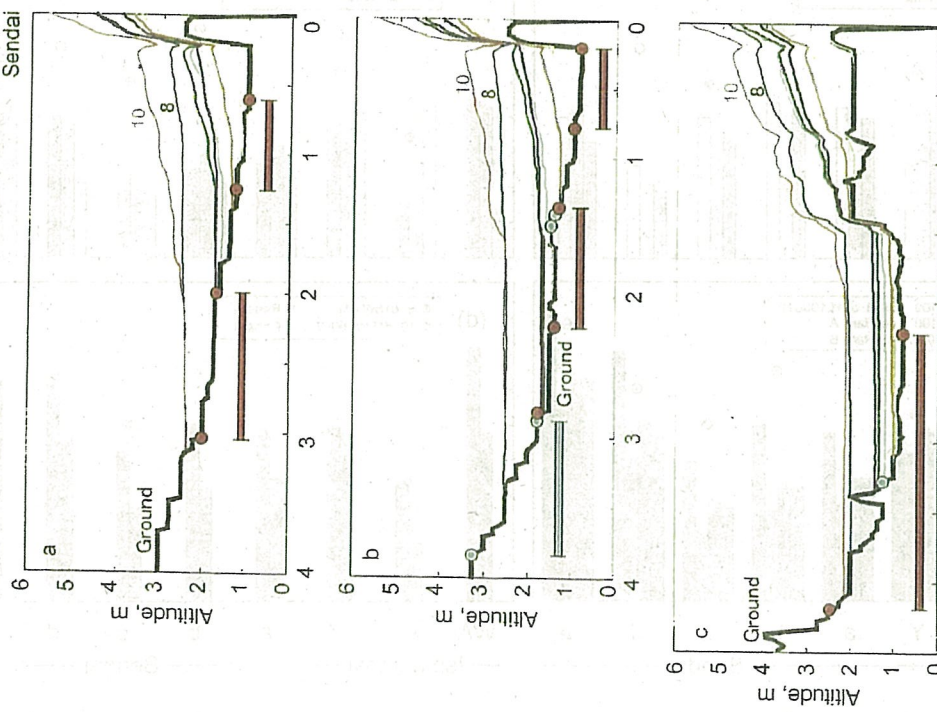


Fig. 9b [Fig. 9b] 仙台平原の 3 種類の地図・津波水位断面図、津波堆積物の分布 (第 4b 図、澤井・他, 2007, 2008)。

Fig. 9b, Profiles of topography and tsunami maximum water surface along three profiles in the Sendai plain. Distribution of tsunami deposit (Fig. 4b, Sawai et al., 2007, 2008) are also shown.

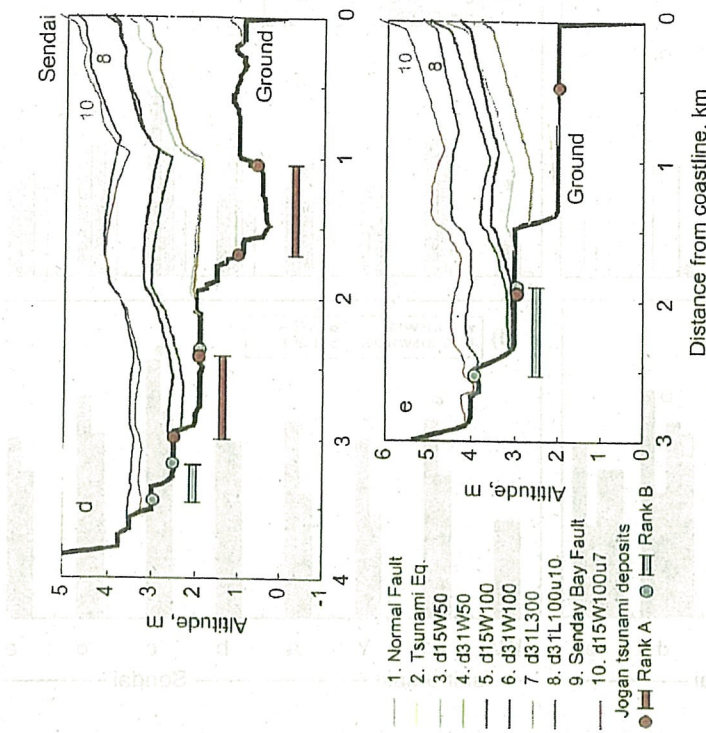
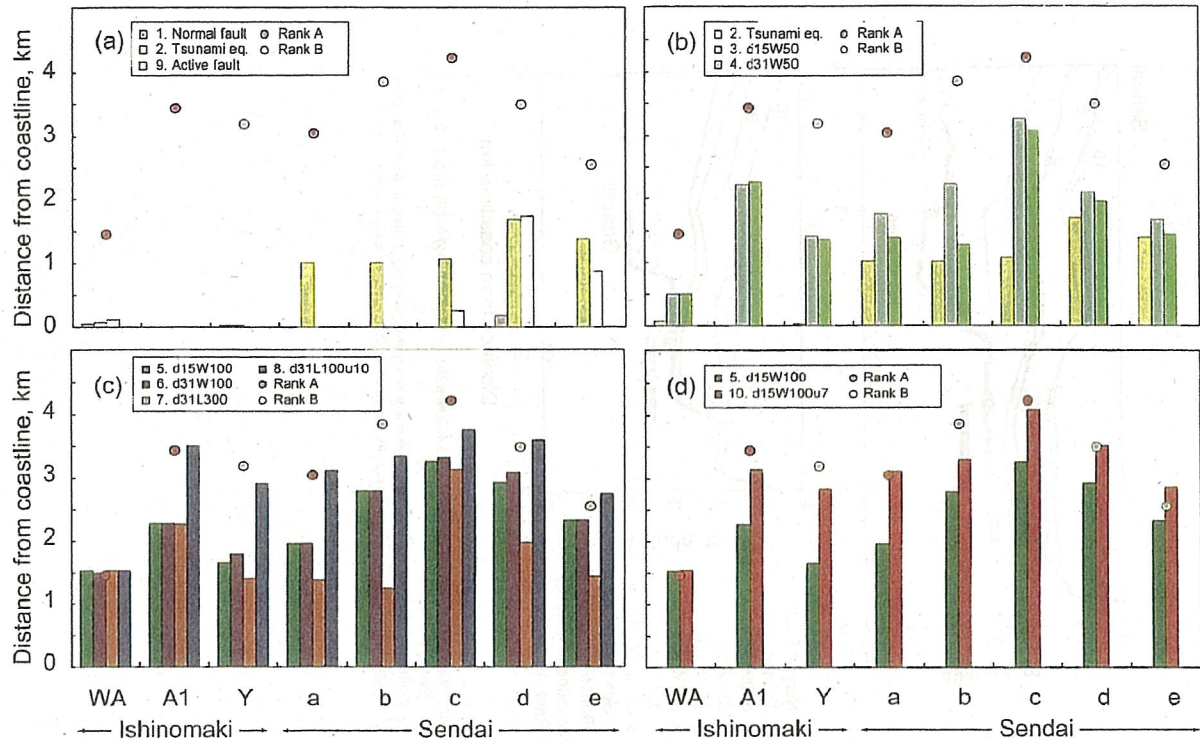
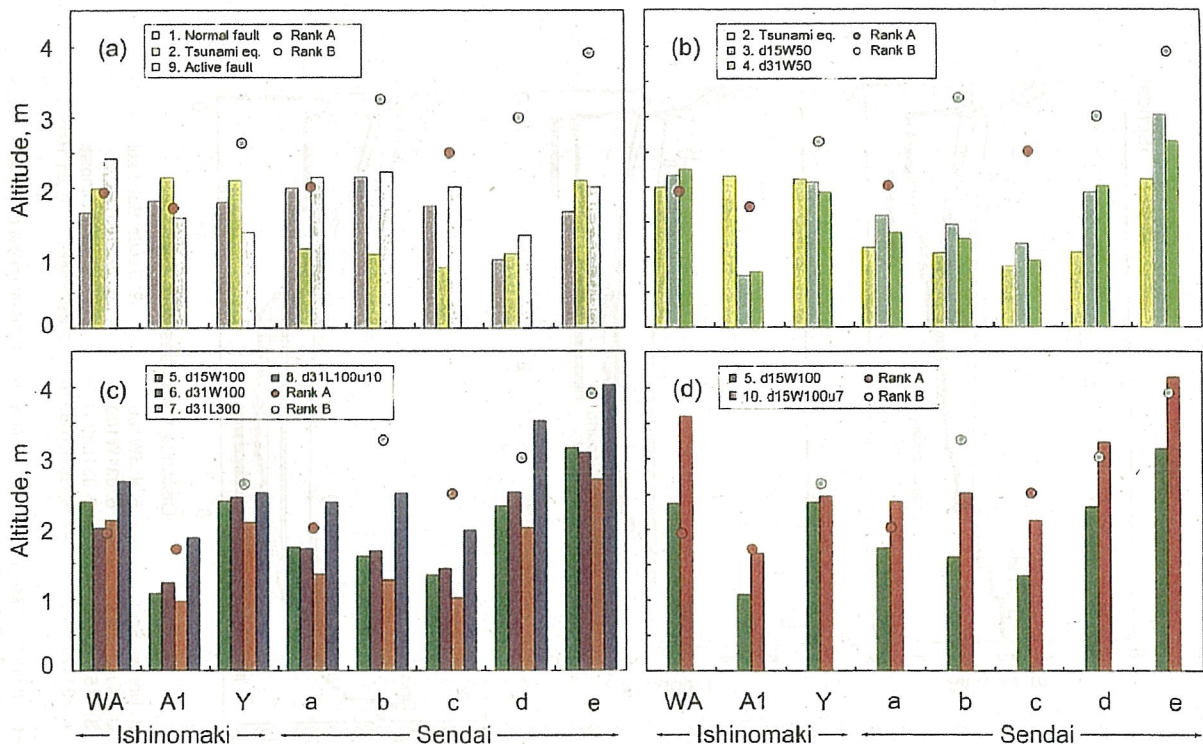


Fig. 9c [Fig. 9c] 仙台平原の 2 種類の地図・津波水位断面図、津波堆積物の分布 (第 4b 図、澤井・他, 2007, 2008)。

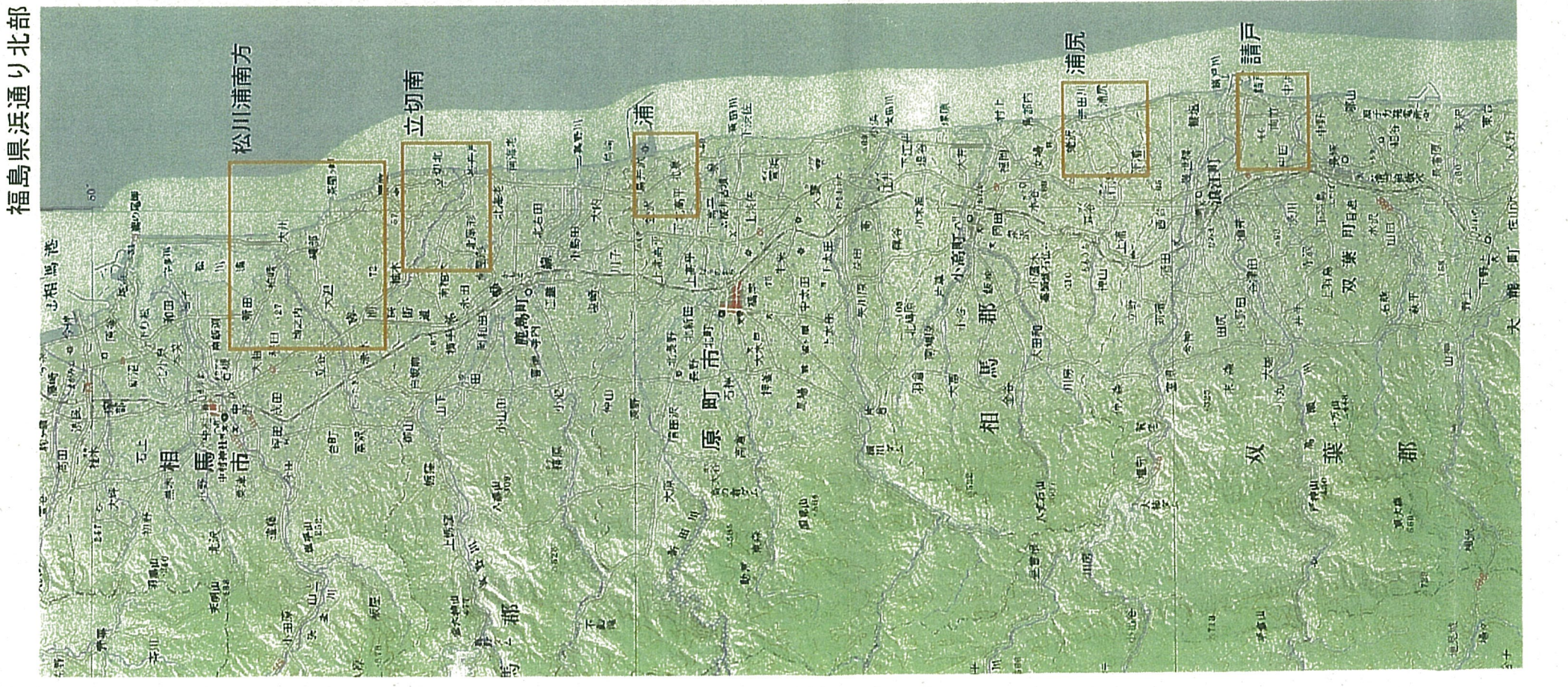
Fig. 9c, Profiles of topography and tsunami maximum water surface along 2 files in the Sendai plain. Distribution of tsunami deposit (Fig. 4b, Sawai et al., 2007, 2008) are also shown.



第10図 右巻・仙台平野の8測線沿いの津波浸水距離と最奥の津波堆積物の位置との比較。
Fig. 10. Comparison of inundation distance and location of the most inland tsunami deposits along eight profiles in the Ishinomaki and Sendai plains.



第11図 右巻・仙台平野の8測線沿いの津波高さと最奥の津波堆積物の位置との比較。
Fig. 11. Comparison of runup heights and location of the most inland tsunami deposits along eight profiles in the Ishinomaki and Sendai plains.

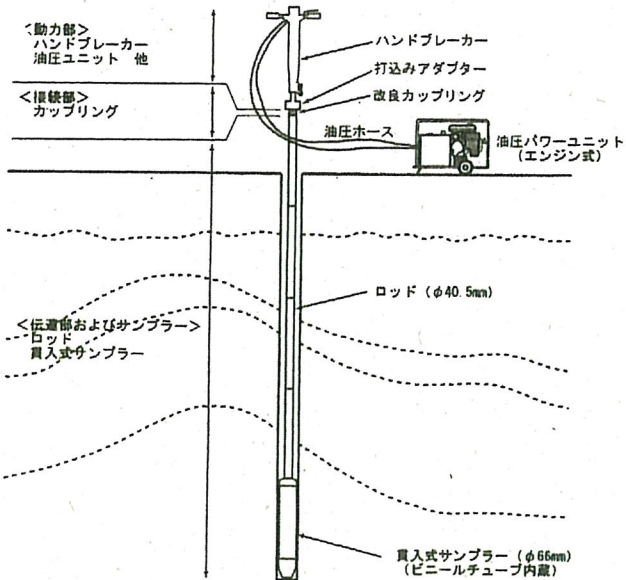


10km



図1-1 調査位置図

パーカッション採土器構造概念図



標準セット（調査深度5m）

使用機器等	数量	単位
ハンドブレーカー	1	台
油圧式パワーユニット	1	台
打ち込みアダプター	1	個
カップリング	1	個
ボーリングロッド	5	m
貫入式サンプラー（ø 66mm）	1	台
小型三叉	1	基台
チェーンブロック	1	台
ロッドホルダー	1	台
脚立	1	脚
コア箱	1	箱
工具	1	
その他・燃料等	1	



図 2-2 パーカッション式採土器の概要

電力共通研究及び津波評価部会審議事項について

現状分析

- 「原子力発電所の津波評価技術」(土木学会, 2002) (以下「津波評価技術」と呼ぶ) が刊行されて以降、地震及び津波の波源に関して各機関による見解が示されているが、実務への適用については未検討。
- 上記最新の知見における波源モデルや地震動の検討に用いる断層モデルはアスペリティを考慮しているが、「津波評価技術」が示す想定津波設定方法 (一様モデルを用いたパラメータスタディ) へアスペリティをどのように適用するか未検討。
- 2002年当時と比較して数値計算技術が飛躍的に進歩しており、解析手法の高度化が可能。
- 改訂された耐震設計審査指針に「不確かさの考慮を適切に行うこと」と記述されており、「津波評価技術」による評価が不確かさを適切に考慮しているか要検討。
- 津波による波力、砂移動、津波高の確率論的評価手法について電力共通研究により要素技術を有するが、基準化されていない。



電力共通研究の実施

2009~2011 (3年計画)

1. 波源モデルに関する検討

波源に関する新知見の分析結果を踏まえて、必要に応じて「津波評価技術」の波源モデルの見直しを行う。

2. 数値計算手法に関する検討

分裂が発生する海域については、分裂・碎波を適切に評価できる非線形分散波方程式の導入の有効性及び判断条件、適切な解析条件等について検討を行う。また、波力評価精度向上の観点から、3次元解析の有効性について基礎的な検討を行う。

3. 津波水位評価における不確かさの考慮に関する検討

上記波源の検討において、波源モデルにアスペリティを設定した場合については、想定津波評価手法について検討を行う。また、波源モデルのパラメータについて確率論的水位評価手法によって得られる津波水位ハザード曲線を参照し、パラメータスタディの妥当性検証を行う。

4. 津波評価技術の体系化・基準化

上記検討に基づく津波水位評価手法、既往の研究成果に基づく津波による波力評価手法、砂移動評価手法及び確率論的津波水位評価手法の体系化・基準化を行う。なお、既往電力共通研究では扱っていない傾斜堤の津波に対する安定性評価については、電力中央研究所にて実験的研究を実施し、津波評価部会に諮る予定である。



「津波評価技術」の改訂

現状分析・検討内容一覧

大項目	小項目	現状分析・検討内容	備考
1. 波源に関する事項	貞觀津波に関する事項	<ul style="list-style-type: none"> 仙台平野における津波堆積物の調査結果を踏まえ佐竹(2008)によって福島県前面域に869年貞觀津波の波源モデルが示されている。 <u>津波堆積物の痕跡としての取扱について検討を行う。</u> 	
	地震調査研究推進本部の知見	<ul style="list-style-type: none"> H14年7月地震調査研究推進本は、三陸沖北部から房総沖の海溝寄りのプレート間大地震（津波地震）は領域内のどこでも起こりうると評価。また、三陸沖北部から房総沖の海溝寄りのプレート内大地震（正断層型）についても領域内でどこでも起こりうると評価。 <u>波源としての取扱について検討する。</u> 	
	地方自治体等の知見	<ul style="list-style-type: none"> 【茨城県】痕跡高さとして「延宝房総沖地震津波の千葉県沿岸～福島県沿岸での痕跡高調査」(竹内他 2007)に用いられている建物被害と浸水深の関係を採用。 【福島県】従来は影響が小さいとしていた海洋プレート内の正断層についても評価。 上記を含む地方自治体等の想定津波の波源について、取扱を検討する。 	
	環太平洋における連動型巨大地震に関する知見	<ul style="list-style-type: none"> スマトラ地震等を踏まえて、環太平洋における連動型巨大地震の可能性に関するレビューを行う。 	
	既往津波の波源モデルの再評価	<ul style="list-style-type: none"> 既往の地震津波について、陸上地形を考慮した過上計算を実施し、基準断層モデルの再検討を行う。 	
2. 数値計算手法に関する事項	非線形分散波方程式	<ul style="list-style-type: none"> 津波水位評価における分散波方程式導入の必要性について検討する。 非線形分散波方程式を用いる場合の計算条件(格子サイズ等)について検討する。 	
	3次元解析	<ul style="list-style-type: none"> 波力計算等における3次元的挙動再現の有効性について検討する。 	
	遠地津波の再現	<ul style="list-style-type: none"> 現状、遠地は線形分散波方程式(球座標)、近地は非線形長波方程式により計算しているが、近地において非線形分散波方程式を用いる必要性について検討する。 	
	海底変位の計算方法	<ul style="list-style-type: none"> 半無限一様媒質、水平成層、水平不均質構造(三次元構造)の影響について検討する。 	
3. 不確かさの考慮に関する事項	耐震設計審査指針における不確かさの考慮に関する記述	<ul style="list-style-type: none"> 不確かさの考慮としてのパラメータスタディの妥当性検証を行う。 	
	アスペリティーモデルのパラメータスタディ方法	<ul style="list-style-type: none"> アスペリティーモデルを採用した場合の想定津波の評価手法構築する。 	
4. 津波評価技術の体系化・基準化に関する事項		<ul style="list-style-type: none"> 津波による波力、砂移動、津波水位の確率論的評価手法について基準化を行う。 	

福島地点の津波評価に関する専門家への相談結果

専門家	相談日時	福島地点の津波評価へのコメント
[REDACTED]	2009/6/25	<ul style="list-style-type: none"> 津波がどこまで週上したかについては、津波発生時の地形を推定して評価しないと過大評価となる。 貞観の論文では、火山灰が分布している範囲を陸地とし、火山灰が分布しない範囲を海と考えた。 福島地点の津波評価方針に特段コメントなし。
[REDACTED]	2009/7/1	<ul style="list-style-type: none"> 東北大で、従来の仙台平野での調査から格段に密度を上げて調査を実施中。 津波堆積物の認定は堆積学もしくは古生物学的な津波堆積物の特徴を備えていることが重要。 実際の津波は津波堆積物の範囲以上に週上していると考えられるため、その範囲を決めるのが重要と考えている。 砂の粒子の配列等から流速を推定し、その流速を境界条件としてどこまで週上したか等の検討を行っている。 旧地形もかなり複雑であり、丁寧な調査が必要。旧地形について一般化して示すのは難しく場所毎での詳細な調査が必要かもしれない。 福島地点の津波評価方針に特段コメントなし。
[REDACTED]	2009/7/17	<ul style="list-style-type: none"> 貞観の波源モデルにはまだ自由度があり現状でモデルが確定というには早いと思う。 モデルの検討には旧地形の復元が必要であるが、福島県の地形はあまり現在と変わらないと考えている。 堆積物の認定は海から運ばれた砂であることを確認する必要があるが、珪藻が残つていれば海水のものか確認できる。 高潮との区別は難しいが、高潮による津波堆積物の例が少ないと考えると、原子力ではどちらのものであっても考慮するしかないのでないのではないか。 砂が堆積した場所よりも内陸への週上については、秋田大の高橋先生がJNESの研究で実施しているはず。 福島地点の津波評価方針に特段コメントなし。
[REDACTED]	2009/7/23	<ul style="list-style-type: none"> 貞観津波について今すぐ津波評価に取り入れるのは時期尚早。 アスペリティーモデルのパラスタについては、津波として厳しくなるアスペリティー位置等について検討する必要がある。 各電力が個別に検討するのではなく、パラスタの方法についてレシピのようなものを作成すべき。 津波堆積物調査として既往の文献で堆積物があるとされているところについても調査するのには良いこと。堆積物の認定について客觀性が増すと良い。 福島地点の津波評価方針に特段コメントなし。
[REDACTED]	2009/8/10	<ul style="list-style-type: none"> 埋め立て地は江戸まで沿地であったところを干拓のため盛土したと考えられ、丁寧にしゃべる価値がある。 本州での調査は人の手が多く入っており、難しい。十勝は人の手が全く入っておらず調査に適していない。 低地を調べる必要もあるが、津波高さを測る上では3～5m程度の段丘に週上しているか否かを調べると良い。 津波堆積物であるかどうかは珪藻化石が証拠として良い。カーボンはばらつくし、浅いところでは現世の植物が入り込む。